

# Treaps и T-Treaps

## Оглавление

1. Randomized Treaps .....	2
1.1 Treaps .....	2
1.2 Операции BST .....	3
1.3 Анализ .....	5
1.4 Случайные приоритеты .....	6
1.5 Использование .....	8
2. T-Treaps .....	8
2.1 Структура .....	8
2.2 Операции BST .....	9
2.3 Балансировка и управление приоритетами .....	11
2.4 Начальные параметры и трудоёмкость T-Treap'a .....	11
2.5 Будущее .....	12
Литература .....	12
Визуализаторы .....	12

# 1. Randomized Treaps

## 1.1 Treaps

В этой части статьи мы рассмотрим двоичные деревья, у которых каждая вершина содержит как ключ, так и приоритет. В наших примерах буквы будут использоваться как ключи, а числа как приоритеты. *Treap* – это двоичное дерево, где ключи расположены как в *BST* (*binary search tree*), а приоритет каждой вершины меньше, чем приоритет её детей. Другими словами, *treap* – это одновременно и *BST* для ключей и *heap* для приоритетов.

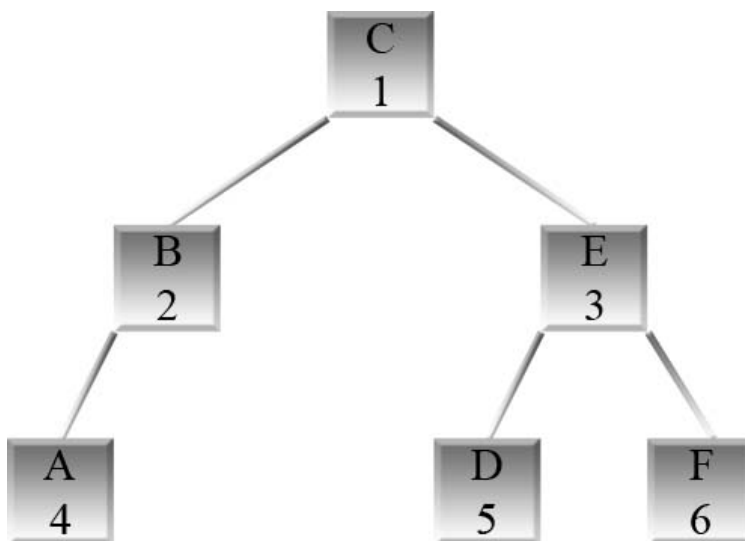


Рис. 1. *Treap*. Верх каждой вершины – её ключ, низ – приоритет.

Далее предположим, что все ключи и приоритеты различны. Благодаря этому мы можем легко убедиться по индукции, что строение *treap* полностью определяется ключами и их приоритетами. Так как это *heap*, то вершина  $V$  с наименьшим приоритетом будет находиться в корне. Так как это *BST*, то вершины  $U$ , у которых  $key(U) < key(V)$ , лежат в левом поддереве, а остальные находятся в правом. Наконец, так как поддеревья являются *treap*, то по индукции по высоте получаем, что структура *treap* полностью определена. Базой является пустой *treap*.

Другой способ для описания структуры основывается на том, что *treap* – это *BST*, которое получается вставкой ключей в порядке возрастания их приоритетов. Третий вариант для описания *treap* отождествляет ключи и приоритеты с координатами множества точек на

плоскости. Корень *treap* соответствует точке, которая лежит на самом верху. Эта точка делит плоскость на три части. Верхняя часть по определению пуста; левая и правая разделяются рекурсивно. Эта интерпретация представляет интерес для приложений в компьютерной геометрии, но их рассмотрение выходит за рамки данной статьи. Для подробного изучения этого вопроса используйте [1].

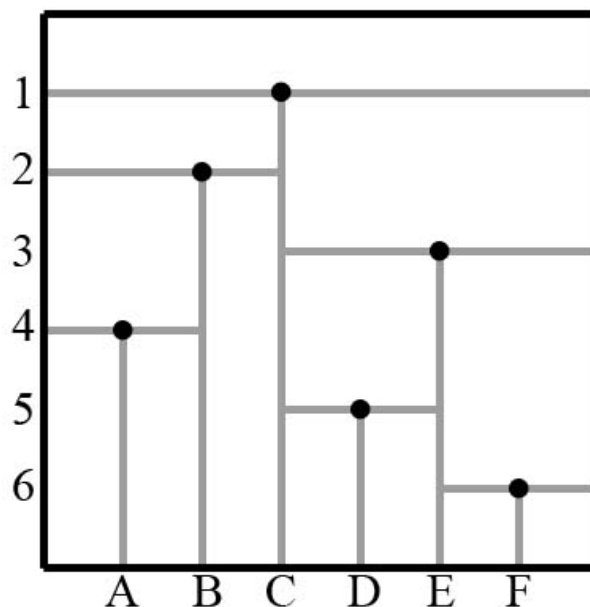


Рис. 2. Геометрическая интерпретация *treap*, показанного на рис. 1.

*Treap*'ы были впервые открыты Жаном Вуйлеменом (Jean Vuillemin) в 1980 году, но он назвал их декартовыми деревьями. Слово *treap* было впервые использовано Эдвардом МакКрайтом (Edward McCreight) в 80-х годах прошлого века, чтобы описать немного отличающуюся структуру данных, но позднее он поменял имя *treap* на *PST* (*priority search trees*). *Treap*'ы были заново изучены и использованы Арагоном (Cecilia Aragon) и Зайделем (Raimund Seidel) для построения рандомизированных деревьев поиска в 1989 году. Другая модификация рандомизированных двоичных деревьев поиска, которая использует рандомную перебалансировку вместо приоритетов, была позднее проанализирована Мартинесом (Conrado Martinez) и Роурой (Salvador Roura) в 1996 году.

## 1.2 Операции BST

Поиск происходит так же, как и в *BST*. Время успешного поиска пропорционально глубине вершины. Время неудачного поиска пропорционально глубине её предшествующего или последующего элемента (в порядке возрастания ключей). Для вставки нового ключа *K*,

мы начинаем использовать стандартный алгоритм для *BST*. Когда ключи станут образовывать правильно построенное *BST*, приоритеты могут нарушать *heap-order*. Чтобы восстановить его, нужно делать простые повороты с участием вершины  $K$ , пока у её родителя приоритет не станет меньше, чем у неё. Время работы пропорционально глубине  $K$  до начала поворотов. Сами повороты выполняются за постоянное время, и их количество не превышает глубины  $K$ .

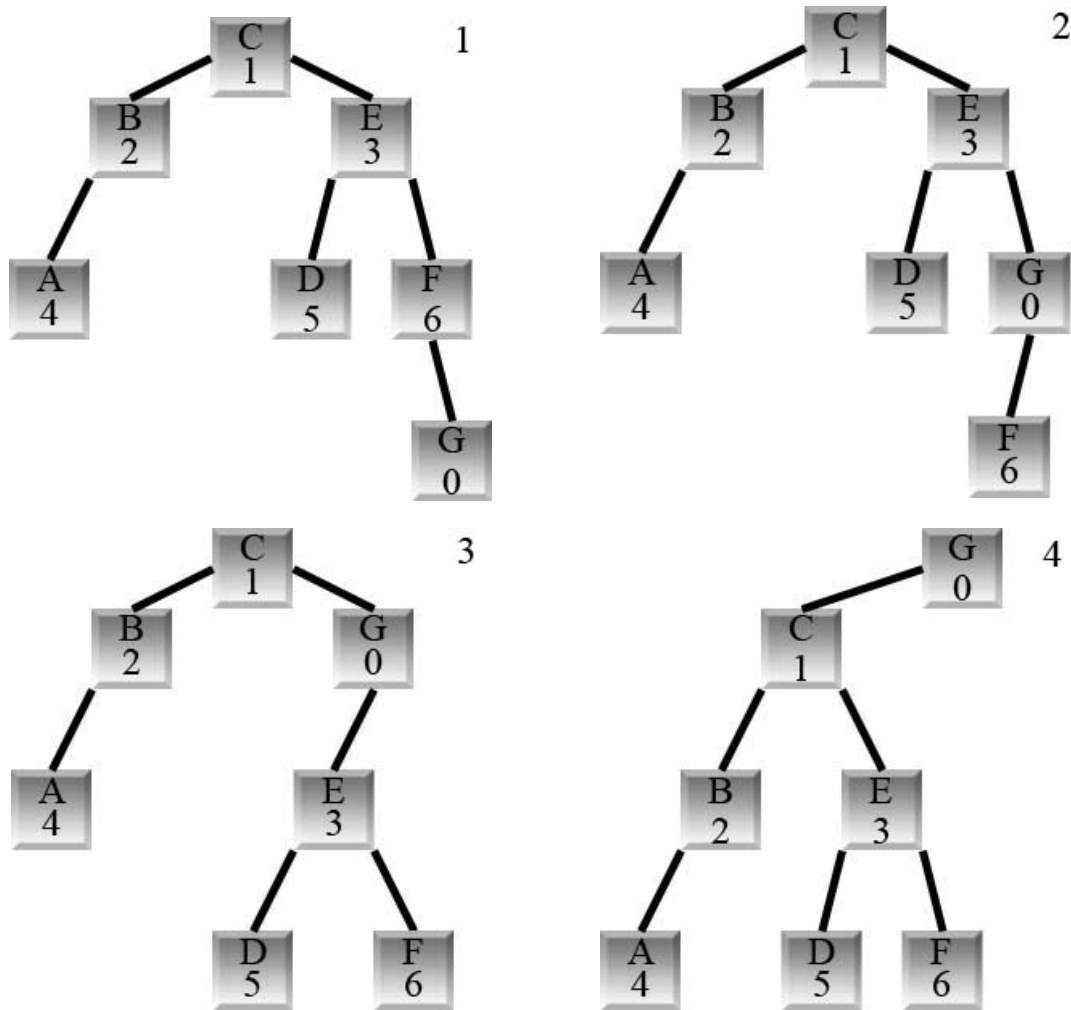


Рис. 3.

На рисунке 3 (в порядке 1, 2, 3, 4) представлено добавление  $(G, 0)$ : вставляем её как в *BST* и восстанавливаем *heap-order* поворотами с её родителями. Если смотреть в порядке убывания номеров картинок, то получим удаление вершины  $(G, 0)$ : спускаем её вниз поворотами, чтобы сделать листом, и удаляем её.

Удаление вершины происходит так же, как добавление, только в обратном порядке. Предположим, мы хотим удалить вершину  $V$ . Пока  $V$  не является листом, делаем повороты  $V$  с её ребёнком, имеющим меньший приоритет. Это действие опускает  $V$  на более низкий

уровень и поднимает её ребёнка. Выбор нужного ребёнка при поворотах позволяет сохранить *heap-order* во всех вершинах кроме  $V$ . Когда  $V$  станет листом, простоотрежем её.

Иногда нам требуется разделить *treap*  $T$  на 2 *treap*'а  $T1$  и  $T2$  относительно какого-то ключа  $K$  так, что все ключи в  $T1$  меньше  $K$ , а все ключи в  $T2$  больше. Простейший способ сделать это – добавить вершину с ключом  $K$  и приоритетом  $-\infty$ . После вставки новая вершина станет корнем *treap*'а, а левое и правое поддеревы будут представлять собой  $T1$  и  $T2$  соответственно. Время для разделения *treap* примерно равно времени двух неудачных поисков для  $K$ .

Подобным образом нам бы хотелось научиться объединять *treap*'ы  $T1$  и  $T2$ , где любой ключ из  $T1$  меньше любого ключа из  $T2$ . Объединение подобно разделению наоборот – нужно создать мнимую вершину с поддеревьями  $T1$  и  $T2$ , поворотами сделать её листом и удалить.

### 1.3 Анализ

Стоимость каждой операции пропорциональна глубине  $d(V)$  какой-то вершины  $V$  в *treap*.

- Поиск: Успешный поиск ключа  $K$  займёт  $O(d(V))$ , где  $key(V) = K$ . Для неуспешного поиска, обозначим  $Vleft$  и  $Vright$  предыдущий и следующий элементы  $K$  в порядке возрастания ключей. Так как последняя обработанная вершина будет либо  $Vleft$ , либо  $Vright$ , то время неуспешного поиска будет занимать соответственно  $O(d(Vleft))$  или  $O(d(Vright))$ .
- Удаление/Вставка: Вставка нового элемента  $V$  будет занимать  $O(d(Vleft))$  или  $O(d(Vright))$ . Удаление элемента – это просто вставка в обратном порядке.
- Разделение/Объединение: Разделение *treap*'а по ключу  $K$  займёт  $O(d(Vleft))$  или  $O(d(Vright))$ , так как разделение получается вставкой вспомогательной вершины с ключом  $K$  и приоритетом  $-\infty$ . Объединение *treap*'ов займет столько же времени, сколько и разделение, потому что повторяет действия разделения в обратном порядке.

Так как глубина вершины в *treap*'е в худшем случае составляет  $\Theta(n)$ , где  $n$  – общее количество вершин, то каждая из операций в худшем случае будет выполняться за  $\Theta(n)$ .

## 1.4 Случайные приоритеты

Рандомизированное дерево двоичного поиска – это *treap*, в котором приоритеты задаются случайной функцией. Это значит, что при добавлении нового ключа, мы придумываем случайное вещественное число между 0 и 1, которое будет приоритетом новой вершины. Использование вещественных чисел обусловлено необходимостью отсутствия одинаковых приоритетов у разных вершин. Это потребуется для анализа структуры *treap*'а. На практике мы можем выбирать случайные целые числа из большого промежутка или использовать числа с плавающей точкой. Так как приоритеты независимы, то вероятность того, что какая-то вершина будет иметь минимальный приоритет, будет одинакова для всех вершин.

Стоимость всех основных операций, как было показано выше, пропорциональна глубине какой-то вершины в *treap*'е. Здесь мы докажем, что средняя глубина каждой вершины составит  $O(\log n)$ . Это показывает, что ожидаемое время работы каждой из операций будет  $O(\log n)$ .

Пусть  $x[k]$  будет обозначать вершину с  $k$ -ым по величине ключом. Определим индикаторную функцию  $A$ , принимающую значения 0 и 1 (ложь и истина):

$$A(i, k) = (x[i] - \text{предок } x[k])$$

Воспользуемся тем, что  $d(V)$  – это количество предков  $V$ , отсюда получим следующее равенство:

$$d(x[k]) = \sum_{i=1}^n A(i, k)$$

Теперь мы можем выразить математическое ожидание глубины вершины, используя введённую индикаторную функцию:

$$E(d(x[k])) = \sum_{i=1}^n Pr[A(i, k) = 1]$$

Здесь мы используем линейность  $E$  и то, что  $E[X] = Pr[X=1]$  для индикаторных значений  $X$ . Итак, для подсчёта средней глубины вершин нам нужно сосчитать вероятность того, что вершина  $i$  является предком вершины  $k$ .

К счастью, это легко доказывается с помощью следующей леммы. Для этого введём некоторые обозначения:  $X(i, k)$  – множество ключей  $\{x[i], \dots, x[k]\}$  или  $\{x[k], \dots, x[i]\}$ , в

зависимости от результата сравнения  $i$  и  $k$  ( $i < k$  или  $i > k$ ).  $X(i, k)$  и  $X(k, i)$  обозначают одно и то же, их мощность равна  $|k - i| + 1$ .

**Лемма:** Для любых  $i \neq k$ ,  $x[i]$  является предком  $x[k]$  тогда и только тогда, когда  $x[i]$  имеет наименьший приоритет среди  $X(i, k)$ .

**Доказательство:** Если  $x[i]$  является корнем, то оно является предком  $x[k]$  и по определению имеет минимальный приоритет среди всех вершин, следовательно, и среди  $X(i, k)$ .

С другой стороны, если  $x[k]$  – корень, то  $x[i]$  – не предок  $x[k]$ , и  $x[k]$  имеет минимальный приоритет в *treap*'е; следовательно,  $x[i]$  не имеет наименьший приоритет среди  $X(i, k)$ .

Теперь предположим, что какая-то другая вершина  $x[m]$  – корень. Тогда, если  $x[i]$  и  $x[k]$  лежат в разных поддеревьях, то  $i < m < k$  или  $i > m > k$ , следовательно,  $x[m]$  содержится в  $X(i, k)$ . В этом случае  $x[i]$  – не предок  $x[k]$ , и наименьший приоритет среди  $X(i, k)$  имеет вершина с номером  $m$ .

Наконец, если  $x[i]$  и  $x[k]$  лежат в одном поддереве, то доказательство применяется рекурсивно, так как это поддерево является меньшим *treap*'ом. Пустой *treap* есть тривиальная база. □

Так как каждая вершина среди  $X(i, k)$  может иметь минимальный приоритет, мы немедленно приходим к следующему равенству:

$$\Pr[A(i, k) = 1] = \begin{cases} \frac{1}{k-i+1}, & i < k \\ 0, & i = k \\ \frac{1}{i-k+1}, & i > k \end{cases}$$

Чтобы посчитать среднюю глубину  $x[k]$ , мы просто подставим полученную вероятность в нашу формулу и упростим выражение:

$$\begin{aligned} E[d(x[k])] &= \sum_{i=1}^n \Pr[A(i, k) = 1] = \\ &= \sum_{i=1}^{k-1} \frac{1}{k-i+1} + \sum_{i=k+1}^n \frac{1}{i-k+1} = \\ &= H_k - 1 + H_{n-k} - 1 < \ln k + \ln(n-k) - 2 < 2 \ln n - 2 \end{aligned}$$

Подытожим полученные результаты: каждое удаление, вставка, поиск, разделение и объединение в  $n$ -вершинном рандомизированном *treap*'е занимает  $O(\log n)$ .

Так как *treap* – это двоичное дерево, которое получается добавлением ключей в порядке возрастания приоритетов, то рандомизированный *treap* получается включением ключей в случайном порядке. Получается, что проведённый анализ автоматически даёт нам ожидаемую глубину произвольной вершины в обыкновенном двоичном дереве, построенном случайными вставками (без использования приоритетов).

## 1.5 Использование

*Treap* может использоваться во всех приложениях, где требуется АД (абстрактный тип данных), который поддерживает стандартные словарные операции. Например, на основе *treap*'а в [2] была построена сортировка. На основе тестов в [3] можно увидеть, что *treap* составляет серьёзную конкуренцию *RBT* (*red-black trees*) по скорости исполнения основных операций. С точки зрения программирования, код *treap*'а намного короче, чем у *RBT*. В [4] *treap* используется для организации DVD библиотеки. Самые подробные тесты приведены в [5], здесь авторы так же исследуют зависимость общего времени работы *treap*'а от количества сделанных поворотов. В [6] *treap*'ы используются для построения диаграмм Вороного, но, по результатам авторов, *treap* проигрывает даже *BST*. В [7] предлагается применять *treap* в многопоточной системе для увеличения производительности.

## 2. T-Treaps

### 2.1 Структура

Целью создания *T-Treap* была попытка совместить в одном АД свойство сбалансированности, используя случайные приоритеты, как в *treap*, а так же кластеризацию данных в одной вершине для лучшей организации памяти. С каждым *T-Treap*'ом мы будем связывать вместимость его вершин, которая показывает минимальное и максимальное количество значений в вершине. Листьям разрешено иметь меньшее количество значений в вершине, чем установлено. *T-Treap* реализует основные операции словаря с множеством ключей.



Каждая вершина *T-Treap*'а содержит соседние по значению ключи, ссылки на правого и левого ребёнка. Внутри каждой вершины вместе с самим ключом хранится его индивидуальный приоритет. Кроме того, у каждой вершины имеется направляющий бит и приоритет самой вершины, который используется для поворотов.

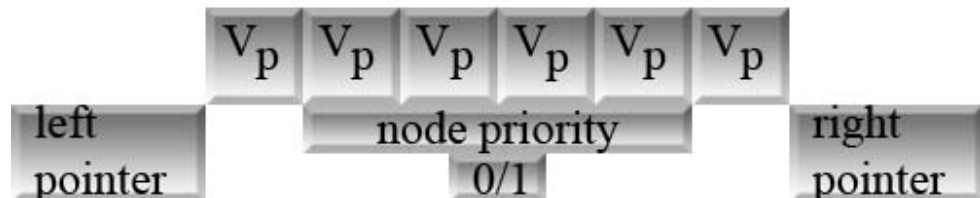


Рис. 4. Представление вершины в *T-Treap*'е:  $V$  – значения,  $p$  – их приоритеты.

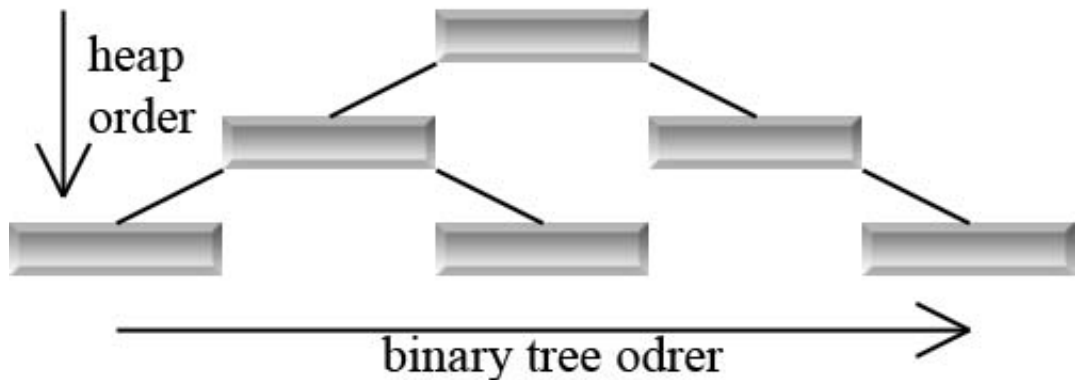


Рис. 5. Общее представление *T-Treap*'а.

Так как значения в вершинах упорядочены по “горизонтали”, а приоритеты - по “вертикали”, то нам потребуются дополнительные затраты для поддержания такой сложной структуры.

## 2.2 Операции BST

- Добавление происходит так же, как и в *BST*. Прежде всего, каждому новому ключу придумывается случайный приоритет. Потом, начиная с корня, значение ключа сравнивается с минимальным и максимальным значением в каждой посещённой вершине. Операция добавления проходит по *T-Treap*'у, останавливаясь, когда ключ попадает в интервал значений вершины, или когда данная вершина не имеет детей в том направлении, в котором нам нужно идти. После остановки на какой-то вершине в

неё добавляется пара (ключ, приоритет), и приоритет данной вершины обновляется по определённому правилу.

- Удаление происходит следующим образом: сначала мы находим ключ в какой-то вершине, потом удаляем это значение вместе с его приоритетом. Наконец, мы корректируем приоритет вершины, из которой было произведено удаление, чтобы он соответствовал своему набору ключей с приоритетами.
- Поиск проходит по вершинам *T-Treap*'а, пока не найдет вершину с подходящим интервалом значений, или когда в нужном направлении будет невозможно двигаться. Если мы нашли подходящую вершину, то поиск продолжается в ней дихотомией.

Одним из инвариантов *T-Treap*'а является свойство заполнения вершин – количество ключей в каждой вершине лежит между установленными заранее числами. Во время добавления или удаления ключа этот инвариант может нарушиться. Если в вершине не будет хватать значений, то их нужно будет забрать у соседних листьев. Если в вершине будет слишком много значений, то одно из них нужно будет переправить листьям. Так как только избыток или недостаток значений в вершине могут привести к созданию или удалению целой вершины, то метод, который будет этим управлять, окажет большое влияние на сбалансированную структуру *T-Treap*'а.

Есть несколько вариантов, куда можно переправлять лишние значения. В общем, мы хотели бы иметь функцию, которая бы распределяла переправление между правым и левым направлениями таким образом, чтобы свойство сбалансированности *treap*'а сохранялось. Мы можем сделать это, используя направляющий бит, который будет инвертироваться после каждого переправления.

Когда удаление ключа заставляет нас забирать значения у соседних листьев, то мы опять можем выбрать два направления. Теперь мы будем забирать значения оттуда, куда указывает инверсия направляющего бита. После перехода в одного из детей вершины мы инвертируем её направляющий бит. Вышеуказанный способ позволяет переправлению проходить в том же направлении, что и последний забор значения. Это позволяет поддерживать относительный баланс при перемещении значений между вершинами.

Если мы достаточно часто используем операцию чтения какого-либо значения, то мы можем менять приоритет этого значения, что непосредственно отразится на приоритете

вершины, в которой происходит чтение, а изменение приоритета вершины может вызвать серию поворотов, которая может поднять вершину на более высокий уровень.

### 2.3 Балансировка и управление приоритетами

Из-за того, что вся структура *T-Treap*'а зависит от приоритетов, то выбор того способа, каким следует их генерировать, определит, в какой степени *T-Treap* будет сбалансирован. Существует несколько алгоритмов, которые могут управлять приоритетами вершин. Основными тремя из них можно назвать: *Min*, *Max* и *Avg (Average)*, которые применяются к множеству приоритетов ключей в вершине. Для *Min* и *Max* пересчёт приоритета занимает одно сравнение, за исключением случая, когда удаляется элемент, имеющий приоритет самой вершины. Тогда потребуется полный просмотр всех приоритетов у ключей в вершине. Для *Avg* новый приоритет может быть посчитан вообще без операции сравнения.

После того, как у вершины поменяется приоритет, *T-Treap* проверяется на соответствие *heap-order*'у. Вершины вращаются так же, как в *treap*'е, если они нарушают *heap-order*. Но существует одно исключение – лист с недостаточно большой вместимостью может нарушать порядок *heap*'а. Это вызвано тем, что все внутренние вершины *T-Treap*'а должны подчиняться ограничениям на вместимость.

### 2.4 Начальные параметры и трудоёмкость T-Treap'а

У *T-Treap*'а есть несколько изменяемых параметров. Каждый из них влияет на производительность и может регулироваться отдельно от других. Алгоритмы для чтения значений обсуждаются в [8]. Существует модификация *T-Treap*'а, в которой у каждого ключа не хранится свой приоритет, а для обновления приоритетов вершин используется специальная функция. Важно отметить, что основное преимущество *T-Treap*'а – это кластеризация данных, откуда следует, что для ускорения его работы на различных машинах рекомендуется выбирать размер вершины кратным количеству байт в кластере.

Время работы основных операций будет пропорционально высоте *T-Treap*'а. Мы будем считать, что поиск в вершине ведётся за постоянное время. В [8] даётся оценка высоты *T-Treap*'а –  $O(\log(N/X))$ , где  $X$  – количество значений в вершине,  $N$  – общее число ключей.

## 2.5 Будущее

*T-Treap* является новым и не до конца разработанным АДД. Его создатели в [8] лишь обозначили основные идеи его конструирования, оставив читателям ряд вопросов для самостоятельного рассмотрения. Авторы предполагают, что со временем структуры, спроектированные на подобии *T-Treap*'а, приобретут большую популярность в связи с тенденциями роста производительности компьютерных систем.

## Литература

1. Ласло М. [Вычислительная геометрия и компьютерная графика на C++](#): Пер. с англ. — М.: БИНОМ, 1997. — 304 с.: ил.
2. Jeff Erickson. [Randomized treaps](#) // University of Illinois at Urbana-Champaign. CS373 lecture notes. 2002.
3. Dominique A. Heger. [A Disquisition on The Performance Behaviour of Binary Search Tree Data Structures](#) // Cepis Upgrade Journal. Vol. 5. October 2004. № 5, p. 67-74.
4. Jim Moiani, Michael Crocker. [DVD Library System](#) // University of Notre Dame. CSE 331 data structures. 2003.
5. Hugh E. Williams, Justin Zobel, Steffen Heinz. [Self-adjusting trees in practice for large text collections](#) // Software: Practice and Experience. Vol. 31. August 2001. № 10, p. 925-939.
6. Kenny Wong, Hausi A.Muller. [An Efficient Implementation of Fortune's Plane-Sweep Algorithm for Voronoi Diagrams](#) // Technical Report DCS-182-IR. 1991, p. 8-9.
7. Albrecht Schmidt, Christian S. Jensen. [Efficient Management of Short-Lived Data](#) // A TIMECENTER Technical Report. 2005.
8. Joshua P. MacDonald, Ben Y. Zhao. [T-treap and Cache Performance of Indexing Data Structures](#) // University of California, Berkeley. CS252 course projects. 1999.

## Визуализаторы

9. [Randomized binary search trees.](#)
10. [Рандомизированное дерево поиска с приоритетами.](#)